

تأثیر مدلسازی دینامیکی باز بر پایداری شبکه و تخمین پارامترهای مدل دینامیکی انتخابی با فیلتر کالمن

عارف درودی^۱، استادیار، هانیه نوری^۲، دانشجو

۱- دانشکده مهندسی برق- دانشگاه شاهد- تهران- ایران

Doroudi@shahed.ac.ir -

۲- دانشکده مهندسی برق- دانشگاه شاهد- تهران- ایران

Noori.h2020@gmail.com -

چکیده: سیستمهای قدرت بطور پیوسته در معرض اختلالات کوچک یا بزرگ قرار دارند. وقوع اختلال در سیستم قدرت باعث تحریک مودهای سیستم از جمله مودهای الکترومکانیکی شده و در نتیجه کمیتهای سیستم دچار نوسانات گذرا می‌شوند. برای بررسی این پدیدهای مدلسازی دقیق تمامی تجهیزات سیستم از جمله بارها دارای اهمیت فراوانی است. در این مقاله اهمیت و تأثیر انواع مدلهای باز بر روی پایداری زاویه باز یک شبکه قدرت نمونه مورد بررسی قرار می‌گیرد. ابتدا با مطالعه انواع مدل‌های باز نشان داده خواهد شد که مدلسازی دینامیکی باز بر پایداری سیستم تاثیر گذار است. سپس با انتخاب بهترین مدل دینامیکی و استفاده از فیلتر کالمن بدون دنباله (UKF) پارامترهای مدل با استفاده از روش "بازخوانی رخداد" و تزریق ولتاژ و فرکانس ایجاد شده بعد از اغتشاش به شینه مورد نظر تخمین زده می‌شوند.

واژه های کلیدی: مدلسازی باز، تخمین پارامتر، مدل های باز دینامیکی، فیلتر کالمن

تاریخ ارسال مقاله : ۱۳۹۵/۰۹/۲۳

تاریخ پذیرش مقاله : ۱۳۹۶/۰۷/۰۴

نام نویسنده مسئول : عارف درودی

نشانی نویسنده مسئول : ایران - تهران - ابتدای آزاد راه تهران قم - روبروی حرم مطهر امام خمینی (ره) - دانشگاه شاهد - دانشکده فنی و مهندسی

۱- مقدمه

مدل‌سازی صحیح (دقیق) بار در تحلیل دینامیکی بسیار پیچیده است و نیازمند برخی ساده‌سازی‌ها است. برای کاهش پیچیدگی مدل‌سازی بار، گاهی همه موتورهای القایی متصل شده به یک شینه را به صورت یک موتور معادل مدل می‌کنند.

یکی دیگر از مدل‌های دینامیکی بار که در نرم‌افزارها و مقالات متعدد برای مطالعات پایداری مورد استفاده قرار گرفته است، مدل بازیابی نمایی بار (ERL) نام دارد [1]. مدل فوق ضمن پاسخگویی مناسب در شرایط مختلف شبکه به دلیل تعداد کم پارامترهای آن، در پروسه تخمین بر اساس نتایج اندازه‌گیری نیز مشکلات کمتری را بروز می‌دهد [2].

از طرف دیگر، مدل‌سازی بار و تخمین پارامترهای آن می‌تواند مبتنی بر دو اصل انجام گیرد:

- ۱- روش‌های مبتنی بر اجزا: در این حالت اطلاعات تک تک بارها جمع آوری شده و سپس با ترکیب آنها، مشخصه بار ترکیبی به صورت یک بار منفرد جایگزین می‌شود.
- ۲- روش‌های مبتنی بر اندازه‌گیری: از اطلاعات اندازه‌گیری شده مانند ولتاژ، فرکانس و توان‌های اکتیو و راکتیو در حالتی که شبکه تحت یک اعوجاج قرار می‌گیرد استفاده می‌شود. این اطلاعات برای تنظیم پارامترهای مدل به نحوی مورد استفاده قرار می‌گیرند تا عدم تطابق بین پاسخ واقعی و مدل انتخابی را کاهش دهند.

امروزه با توجه به وسایل اندازه‌گیری جدید مانند UPs، روش دوم بیشتر مورد توجه قرار گرفته است. این دستگاه‌ها عموماً در شینه‌های کلیدی شبکه نصب شده و دینامیک سیستم را مونیتور می‌کنند. اولین قدم در مدل‌سازی هر تجهیز در روش‌های مبتنی بر اندازه‌گیری، انتخاب مدلی مناسب برای آن تجهیز است. در قدم دوم می‌باشد که از استراتژی خاص انتخاب و تنظیم نمود. این امر چالش برانگیز بوده چرا که مدل‌های انتخابی عمدتاً غیرخطی و دارای پارامترهای زیادی هستند.

تاکنون روش‌های مختلفی برای تخمین پارامترهای بار ارائه شده است که از جمله آنها می‌توان به روش‌های مبتنی بر تکنیک‌های آماری و حداقل مربعات [3]، روش‌های هوش مصنوعی مانند الگوریتم PSO [4,5]، شبکه‌های عصبی [6] اشاره نمود. این روشها عمدتاً به شکل Offline پارامترهای بار را تخمین می‌زنند. با توجه به ماهیت تصادفی بار و تغییرات آن و همچنین کنترل مستمر و پیوسته کلیه

هدف از طراحی، اجرا و توسعه شبکه برق و به طور کلی سیستم‌های قدرت، تولید توان الکتریکی و تحويل آن با کیفیتی مناسب به مصرف‌کننده است. به عبارت دیگر بهره‌برداری پایدار از سیستم‌های قدرت مستلزم توانایی آنها در حفظ تعادل بین توان‌های الکتریکی خروجی نیروگاه‌ها و بارهای الکتریکی سیستم است.

بارها یا مصرف‌کنندگان انرژی یکی از مهم‌ترین و اساسی‌ترین اجزا شبکه‌های قدرت هستند که از تغییرات پارامترهای شبکه نظیر ولتاژ و فرکانس تاثیر می‌پذیرند. همان‌گونه که بارها از تغییر پارامترهای شبکه تاثیر می‌پذیرند و تأمین ولتاژ با فرکانس ثابت برای آنها مهم است، خود هم به نوعی بر روی این پارامترها تاثیرگذار هستند.

طراحی مناسب و عملکرد این شبکه‌های قدرت به شدت به مطالعات دینامیکی آنها وابسته بوده و لذا داشتن اطلاعات کافی از تمامی اجزای متصل به شبکه ضروری خواهد بود. برای بهبود دقت مطالعات دینامیکی موارد زیر نیاز خواهد بود:

- انتخاب یک مدل مناسب و دقیق برای هر یک از تجهیزات
 - تعیین دقیق پارامترهای مدل
- تاکنون مطالعات فراوانی در خصوص ارائه مدل‌های دقیق و تعیین پارامترهای مدل برای تجهیزات مختلف موجود در شبکه‌های قدرت انجام گرفته است. یکی از اجزا مهم شبکه بارهای الکتریکی هستند. در مدل‌سازی بار با یک فرآیند پیچیده روبرو هستیم و علت آن را می‌توان به اختصار این‌گونه برشمرد:

- در مدل‌سازی مجموع بارهای متصل به یک شینه با وسایل متنوع از قبیل تجهیزات روشنایی، کمپرسورها، گرمکنندها، موتورها (القایی، DC)، کوره‌های القایی و غیره روبرو هستیم (مشخصه تصادفی بودن بارها).

- از طرفی ممکن است که این ترکیب تحت تاثیر عواملی از قبیل زمان (ساعت، روز، ماه، ایام تعطیل)، وضعیت آب و هوا و وضعیت اقتصادی تغییر نماید (متغیر با زمان بودن بارها).

با توجه به مشخصه‌های بار دو نوع مدل‌سازی دینامیکی و استاتیکی امکان‌پذیر است. مدل‌سازی دینامیکی دقیق تر بوده ولی در برخی مواقع به دلیل هزینه محاسباتی از مدل‌سازی استاتیکی اسفلاده می‌شود. در هر صورت در زمان وقوع اعوجاج در شبکه و در هنگام انجام مطالعات دینامیکی و پایداری، مدل‌های استاتیکی جوابگوی حالت دینامیکی بار نبوده و نتایج عملی با نتایج شبیه‌سازی تطبیق مناسبی ندارند. بعلاوه، مقدار قابل توجهی از بارها در سیستم، موتور القایی هستند.

یک سیستم واقعی ممکن است شامل هزاران موتور باشد. بنابراین

خصوصیات استاتیک بار را می‌توان به توان ثابت، جریان ثابت و امپدانس ثابت و با توجه به نوع وابستگی توان‌های اکتیو و راکتیو به ولتاژ دسته بندی کرد. در مورد یک بار امپدانس ثابت وابستگی توان به ولتاژ به صورت یکتابع درجه ۲، برای جریان ثابت به صورت خطی و برای توان ثابت، توان بار به ولتاژ وابستگی ندارد. معادلات (۱) و (۲)، مجموع سه دسته‌بندی اخیر را نشان می‌دهند.

$$P = P_0 \left[a_1 \left(\frac{V}{V_0} \right)^2 + a_2 \left(\frac{V}{V_0} \right) + a_3 \right] \quad (1)$$

$$Q = Q_0 \left[a_4 \left(\frac{V}{V_0} \right)^2 + a_5 \left(\frac{V}{V_0} \right) + a_6 \right] \quad (2)$$

که در آن P_0 , Q_0 , V_0 به ترتیب مقادیر اولیه ولتاژ، توان اکتیو، توان راکتیو از سیستم مورد مطالعه و ضرایب a_1 تا a_6 پارامترهای مدل را نشان می‌دهند.

• مدل بار نمایی

معادلات (۳) و (۴) وابستگی توان با ولتاژ را به صورت تابعی نمایی بیان می‌کنند.

$$P = P_0 \left(\frac{V}{V_0} \right)^{n_p} \quad (3)$$

$$Q = Q_0 \left(\frac{V}{V_0} \right)^{n_q} \quad (4)$$

پارامترهای این مدل n_p و n_q هستند..

• مدل بار فرکانسی

مدلهای ارائه شده در بالا می‌توانند دارای یک ترم وابستگی فرکانس نیز باشند و آن هم با ضرب کردن معادلات فوق در یک فاکتور به فرم (۵) انجام می‌گیرد.

$$1 + A(f - f_0) \quad (5)$$

f_0 فرکانس نامی شبکه بوده و A نشان دهنده حساسیت فرکانسی مدل است.

۲-۱-۲- مدل‌های دینامیک بار

هنگامی که مدل‌های استاتیک بار مرسوم برای نمایش رفتار بار کافی نیست استفاده از مدل‌های دینامیکی پیشنهاد می‌گردد. پارامترهای چنین مدل‌هایی می‌توانند با استفاده از روش‌های مبتنی بر اندازه‌گیری و به وسیله مشاهده پاسخ بار به عنوان نتیجه‌ای از تغییرات سیستم یا با استفاده از روش‌های مبتنی بر اجزاء محاسبه شوند. معروف‌ترین نوع مدل‌های دینامیکی، مدل ERL است که به وسیله دسته‌ای از معادلات

منابع در شبکه‌های نوین [۷]. مدل‌سازی دینامیکی و online کلیه اجزا شبکه من جمله بارهای آن ضروری خواهد بود.

در این مقاله برای اولین بار از فیلتر کالمن بدون دنباله (UKF) برای تنظیم و کالیبراسیون پارامترهای مدل انتخابی بار استفاده خواهد شد. این نوع فیلتر در برابر نویزها و عدم دقیق دستگاه‌های اندازه‌گیری مقاوم بوده و نرخ همگرایی آن بسیار مطلوب است [۸].

در این مقاله ابتدا با معرفی انواع مدل‌های استاتیکی و دینامیکی بار و توسط شبیه‌سازی نشان داده خواهد شد که در مطالعات پایداری گذرا، مدل‌سازی دینامیکی بار روی نتایج حاصله تاثیر قابل ملاحظه‌ای دارد. در ادامه و در جهت مدل‌سازی بار و تخمین پارامترهای مدل آن از روش بازخوانی واقعه و تحریق ولتاژ اندازه‌گیری شده به شینه مورد بحث و فیلتر کالمن بدون دنباله بهره گرفته خواهد شد و عملکرد مدل ارائه شده با شبیه‌سازی‌های متعدد مورد بررسی قرار می‌گیرد.

۲- مدل‌سازی بار

مدلسازی بار از جایگاه بالایی در طراحی، اجرا و توسعه سیستم‌های قدرت الکتریکی برخوردار است. در طراحی اولیه هر سیستم قدرت و مطالعات پایداری و دینامیکی مدل، دقیق بار نقش و تاثیر بسزایی دارد [۹].

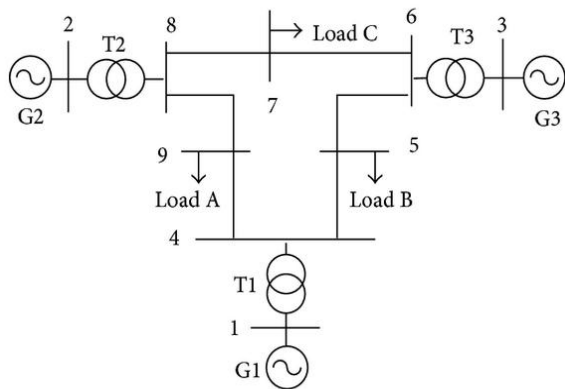
۲-۱- مدل‌های استاندارد بار

مدلسازی بار در واقع توصیف ریاضی مربوط به ولتاژ و فرکانس اندازه‌گیری شده در یک شینه و میزان مصرف توان اکتیو و راکتیو توسط بار است. با توجه به تنوع و گستردگی بالای بارهای سیستم قدرت ارائه یک مدل دقیق بسیار مشکل است [۱۰]. در این خصوص روش‌های متفاوتی تاکنون ارائه شده است. اما دو دسته‌بندی اصلی شامل مدل‌سازی استاتیک و دینامیک است. مدل استاتیک بار به زمان وابسته نبوده و در نتیجه می‌توان رابطه بین توان اکتیو و راکتیو در هر لحظه از زمان را با ولتاژ و فرکانس در همان زمان توصیف نمود. از طرف دیگر مدل دینامیک بار چنین رابطه‌ای را در هر لحظه از زمان و به وسیله تابعی از ولتاژ و فرکانس توصیف می‌کند.

۲-۱-۱- مدل‌های استاتیک بار

مدلهای استاتیکی بار متدالوی برای توان اکتیو و راکتیو به صورت چند جمله‌ای یا نمایی بوده و در صورتی که لازم باشد می‌تواند شامل یک ترم وابستگی فرکانس نیز باشد [۱۱]. خلاصه‌ای از این مدل‌ها در ادامه آمده است.

• مدل ZIP یا چند جمله‌ای



شکل(۲): دیاگرام سیستم سه ماشین، ۹ شینه در نرم افزار Digsilent

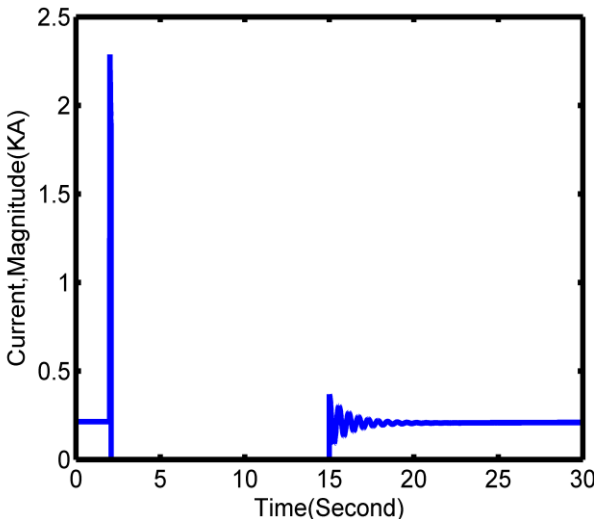
تحلیل پایداری گذرای سیستم با ردیابی زاویه بار ژنراتورها، به دنبال یک اختشاش بزرگ انجام می‌گیرد. در این شبیه‌سازی اتصال کوتاه سه‌فازی در $t=2s$ بر روی خط ۸-۹ ایجاد می‌شود، پس از گذشت چند سیکل، خط باز می‌شود؛ سپس در $t=2.6s$ خط رفع شده و در $t=15s$ مجدداً خط را می‌بندیم. شکل(۳) جریان خط ۸-۹ را در پیش و پس از این رخداد نمایش می‌دهد.

غیرخطی به فرم معادلات (۶) و (۷) نشان داده شده است. در این مدل توان اکتیو و راکتیو رابطه‌ای غیرخطی با ولتاژ دارند [۱۲].

$$T_p \frac{dP_r}{dt} + P_r = P_0 \left(\frac{V}{V_0}\right)^{\alpha_s} - P_0 \left(\frac{V}{V_0}\right)^{\alpha_d} \quad (6)$$

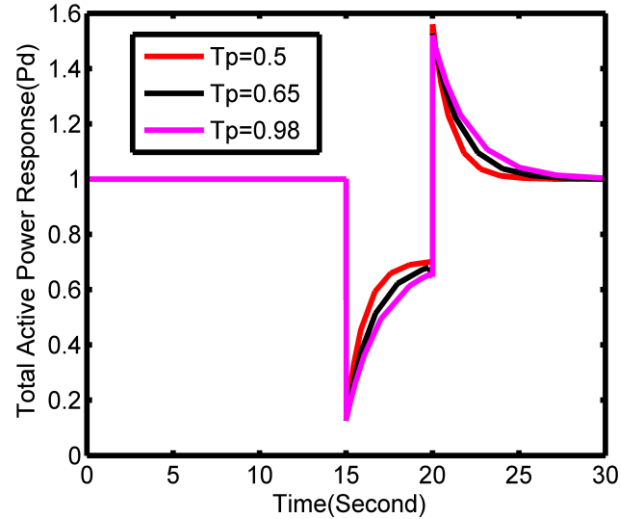
$$P_d = P_r + P_0 \left(\frac{V}{V_0}\right)^{\alpha_d} \quad (7)$$

در این مدل، P_r و P_d به ترتیب بازیابی توان اکتیو و راکتیو مصرفی، α_s و α_d به ترتیب واستگی ولتاژ-بار اکتیو در حالت مانا و واستگی ولتاژ-بار راکتیو در حالت گذرا را نشان می‌دهند. T_p مدت زمانی است که توان نیاز دارد تا به 63 درصد مقدار نهایی خود برسد. تغییر در ولتاژ باعث تغییر توان اکتیو مصرفی می‌گردد. به دنبال این، شبکه به سمت یک مقدار مانا میل کرده و برای رسیدن به این مقدار به اندازه T_p زمان نیاز دارد. شکل (۱) تاثیر تغییرات ولتاژ بر اکتیو در T_p های مختلف نشان می‌دهد. فرض شده است که ولتاژ در لحظه $t=15s$ از مقدار 1pu به 0.4pu افت نموده و مجدداً در $t=20s$ به مقدار اولیه خود باز می‌گردد. همانطور که این شکل نشان می‌دهد مدامی که T_p افزایش می‌یابد، پاسخ بار دیرتر به نقطه نهایی خود می‌رسد.



شکل(۳): جریان خط ۸-۹ برای یک حالت پایدار گذرا

باید اشاره کرد که در تمام شبیه‌سازی‌ها فرض بر این است که اتصال کوتاه در ناحیه حفاظتی خط انتقال و بعد از شینه رخ می‌دهد. شاخص انتخابی جهت بررسی پایداری، زمان بحرانی رفع خطای CCT است. CCT حداقل زمانی است که کلید می‌تواند عمل کند تا سیستم در حالت پایدار بماند. برای نشان دادن تاثیر دینامیک بار روی پایداری سیستم، بار A با درصدهای متفاوت استاتیکی و

شکل (۱): تاثیر مقادیر مختلف پارامتر T_p بر پاسخ بار اکتیو

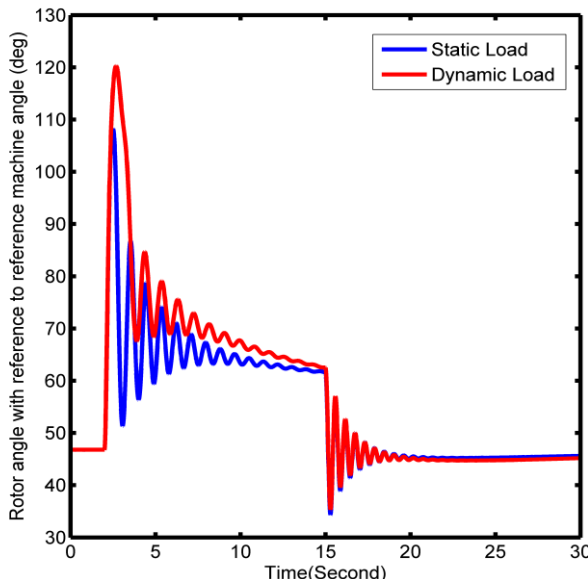
۳- تاثیر مدلسازی دینامیکی بار بر روی پایداری سیستم

در این قسمت نشان خواهیم داد که مدلسازی بار می‌تواند تاثیر قابل ملاحظه‌ای بر مطالعات دینامیکی و پایداری سیستم داشته باشد. برای نشان دادن این تاثیر از یک سیستم ۹ شینه سه ماشینه که در شکل(۲) نمایش داده شده است استفاده می‌کنیم. شبیه‌سازی‌ها با استفاده از نرم افزار Digsilent انجام می‌گیرد. پارامترهای سیستم در مراجع [۱۳, ۱۴] آمده است. در مطالعات ژنراتور شماره ۱، به عنوان ژنراتور مرجع در نظر گرفته شده است.

^۱Critical Clearing Time

مقدار قبلی خود بازنگشته است. این امر از دید سیستم که پس از رخداد، انتظار همان مقدار بار قبلی را داشته است عامل نامتعادلی شده و در نتیجه سیستم را ناپایدارتر می‌سازد.

شکل (۴) تغییرات زاویه بار ژنراتور ۳ را در شرایط مشابه و در دو حالت استاتیک و دینامیک فرض کردن بار A (با $T_p=0.2$) نشان می‌دهد. زمان انتقال کوتاه برابر ۰.۷۱۱ ثانیه فرض شده است.



شکل (۴): تغییرات زاویه بار ژنراتور ۳ نسبت به ژنراتور مرجع

۴- تخمین پارامترهای مدل بار با فیلتر کالمن

در بخش قبل مشاهده شد که مدلسازی دینامیکی بار می‌تواند بر نتایج پایداری شبکه تاثیرگذار باشد. بنابراین باید در مطالعات پایداری بارها به شکل دینامیک مدل شوند. برای این کار نیاز به پارامترهای مدل بار انتخابی خواهیم داشت که می‌بایستی تخمین زده شوند. برای این کار می‌توان از داده‌های موجود که در دستگاههای اندازه‌گیری مانند PMUها ثبت شده‌اند بهره برد. روش کار به "بازخوانی رخداد" مشهور است. در این روش ابتدا داده‌های اندازه‌گیری شده در یک شینه (مانند ولتاژ، فرکانس، یا زاویه ولتاژ) به همان شینه اصلاحاً تزریق شده و پاسخ اندازه‌گیری شده حاصل از سیستم متصل به آن شینه (مثلًا توانهای اکتیو و راکتیو) برای کالیبراسیون پارامترهای مدل مفروض مورد استفاده قرار می‌گیرند. معادلات حالت گسسته یک سیستم قدرت را می‌توان در حالت کلی به شکل معادله (۸) زیر نوشت:

دینامیکی در نظر گرفته می‌شود. در حالت دینامیکی بودن بار، پارامتر T_p نیز تغییر می‌یابد.

جدول (۱) مرز پایداری و ناپایداری زاویه روتور ژنراتور ۳ را برای بار A به صورت استاتیکی، دینامیکی و ترکیب استاتیک-دینامیکی نشان می‌دهد. باید توجه داشت که در این شبیه‌سازی بارهای B و C کاملاً استاتیکی در نظر گرفته شده‌اند.

جدول ۱: CCT با توجه به درصد مدل سازی استاتیک و دینامیک بار A

LOAD A	$T_p(s)$	CCT
100% Static	-	2.078
70% Static	0.1	2.0774
	0.2	2.0764
	0.4	2.0747
50% Static	0.1	2.0766
	0.2	2.07491
	0.4	2.071
30% Static	0.1	2.0759
	0.2	2.0734
	0.4	2.0692
100% Dynamic	0.1	2.0748
	0.2	2.0711
	0.4	2.0646

از جدول (۱) استنتاج می‌شود که:

- در نظر گرفتن مدل دینامیکی برای بار، مقدار CCT را کاهش می‌دهد (حدود ۱۲ میلی ثانیه برای حالت استاتیکی و دینامیکی با $T_p=0.4$). به عبارت دیگر با افزایش دینامیک بار وضعیت سیستم از لحاظ پایداری بدتر می‌شود. لذا استاتیک مدل کردن بارها در شبیه‌سازی‌ها تقریبی خوش‌بینانه خواهد بود.

- با افزایش T_p مقدار CCT کاهش می‌یابد. همانطور که گفته شد هر چه T_p افزایش یابد پاسخ بار دیرتر به نقطه نهایی خود می‌رسد. یعنی در هنگام برگشت ولتاژ، بار هنوز به

$$\begin{cases} \hat{x}_0 = E[x_0] \\ P_{x0} = E[(x_0 - \hat{x}_0)(x_0 - \hat{x}_0)^T] \end{cases} \quad (9)$$

نقاط سیگما و کواریانس حالت پیشین طبق رابطه (10) محاسبه می‌شوند:

$$x_{i,k|k-1} = \begin{cases} \hat{x}_{k-1}, i=0 \\ \hat{x}_{k-1} + \gamma \left(\sqrt{P_{x_{k-1}}} \right)_i, i=0,1,\dots,L \\ \hat{x}_{k-1} + \gamma \left(\sqrt{P_{x_{k-1}}} \right)_{i-L}, i=L+1,\dots,2L \end{cases} \quad (10)$$

که در آن، $\left(\sqrt{P_{x_{k-1}}} \right)_i$ به ستون i ام ماتریس $\sqrt{P_{x_{k-1}}}$ اشاره دارد و $\gamma = \sqrt{L+\lambda}$ است و نقاط سیگما از رابطه (11) محاسبه می‌شوند.

$$x_{i,k|k-1} = f(x_{i,k-1}) \quad (11)$$

همچنین متوسط پسین \hat{x}_k^- و کواریانس $P_{\hat{x}_k^-}$ از نقاط سیگماهای آماری طبق روابط (12) و (13) تعیین می‌شوند:

$$\hat{x}_k^- = \sum_{i=0}^{2L} W_i^m x_{i,k|k-1} \quad (12)$$

$$P_{\hat{x}_k^-} = \sum_{i=0}^{2L} W_i^c (x_{i,k|k-1} - \hat{x}_k^-) (x_{i,k|k-1} - \hat{x}_k^-)^T \quad (13)$$

وزن‌های W_i^c, W_i^m نیز از رابطه (14) محاسبه می‌شوند:

$$\begin{cases} W_0^m = \lambda / (L+\lambda) \\ W_0^c = [\lambda / (L+\lambda)] + 1 - \alpha^2 + \beta \\ W_i^c = W_i^m = 1 / 2(L+\lambda) \quad i=1,\dots,2L \end{cases} \quad (14)$$

در این معادله λ یک پارامتر مقیاس دهی مرکب و برابر $\lambda = \alpha^2 / (L+K) - L$ معمولاً برابر با بعد ماتریس حالت در نظر گرفته می‌شود. ثابت α گستره نقاط اطراف سیگماهای اطراف \bar{X} را تعیین می‌کند و معمولاً با یک مقدار مثبت کوچک مقداردهی می‌شود ($0 < \alpha < 10^{-4}$). همچنین β برای یکسان کردن اطلاعات قبلی توزیع X است. ثابت K یک پارامتر مقیاس دهی درجه دوم است که معمولاً با $3-L$ یا 0 مقداردهی می‌شود. عناصر ماتریس اندازه‌گیری تخمینی $Y_{i,k|k-1}$ ، نیز با نقاط سیگماهای تبدیل شده با استفاده از مدل اندازه‌گیری غیرخطی طبق رابطه (15) محاسبه می‌شوند:

$$Y_{i,k|k-1} = h(x_{i,k|k-1}) \quad (15)$$

متوسط اندازه‌گیری \hat{y}_k و کواریانس اندازه‌گیری $P_{\hat{y}_k|y_k}$ ، بر پایه نقاط سیگماهای آماری تبدیل شده و از رابطه (16) به دست می‌آید.

$$X(k+1) = X(k)[A\Delta t + I] + Bu(k)\Delta t \quad (8)$$

که در روابط فوق $X(k)$ متغیرهای حالت و $u(k)$ ورودی‌های سیستم است.

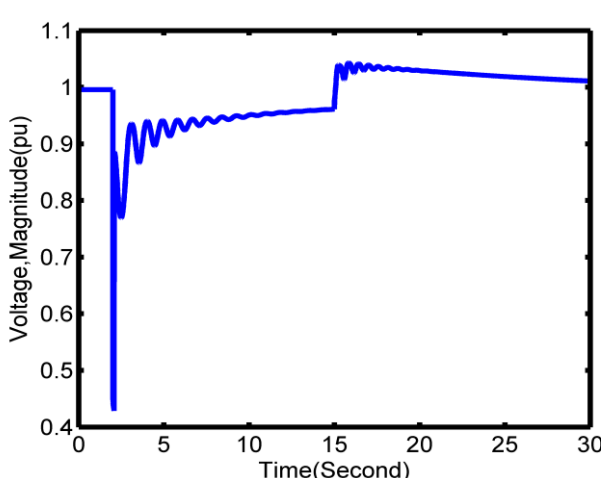
کمیات اندازه‌گیری شده زیر مجموعه‌ای از متغیرهای حالت بوده یا می‌توانند با استفاده از متغیر حالت نشان داده شوند. بنابراین "بازخوانی رخداد" تزریق مقادیر اندازه‌گیری شده در هر گام از شبیه‌سازی‌ها است. در این حالت مقادیر اندازه‌گیری شده توسط دستگاه‌های اندازه‌گیری (ولتاژ و فرکانس) در شینه مورد بحث که بار به آن متصل است بازخوانی شده و به شینه تزریق می‌شوند. سپس توان‌های حاصل از مدل با مقادیر اندازه‌گیری شده این توان‌ها مقایسه شده و از خطای حاصله برای تنظیم پارامترهای مدل استفاده می‌گردد. سیستم خارجی در واقع در اینجا با یک منبع ولتاژ تنظیم شونده که دامنه و فرکانس آن با مقادیر اندازه‌گیری شده مساوی هستند مدل می‌شود. در این حالت به دلیل بزرگ بودن سیستم خارجی، برهمنش بین بار و سیستم خارجی تاثیر بسیار کمی روی مقادیر ولتاژ و فرکانس شینه خواهد داشت. اگر تطبیق مناسبی بین پاسخ مدل و مقادیر اندازه‌گیری شده برقرار نباشد، نتایج حاکی از عدم دقیق و صحیح پارامترهای مدل است. این خطای به خطا تخمین شهره است. حال باید از روشی استفاده نمود تا این خطای کمینه گردد.

فیلتر کالمن ابزاری قوی و پراستفاده برای دنبال کردن متغیرهای حالت سیستم‌ها و تخمین پارامترهای آنها به صورت online است. این روش سعی در کمینه کردن میانگین مربعات خطای دارد. خروجی فیلتر کالمن به شکل بازگشتی محاسبه شده و همگام‌سازی حالت‌های جدید، با استفاده از حالت قبلی و داده ورودی انجام می‌گیرد. بنابراین تنها حالت تخمین زده شده قبلی باید در حافظه نگهداری شود و بدین دلیل الگوریتم برای پیاده‌سازی دیجیتال مناسب است. فرمول‌بندی ریاضی مسئله را می‌توان با استفاده از مفاهیم فضای حالت بیان کرد. برای یافتن پارامترهای سیستم می‌توان پارامترهای تخمین زده شده را حالت‌های t مدل در نظر گرفت. البته باستی مدل برای فیلتر کالمن شناخته شده باشد [15].

در اینجا هدف تخمین پارامترهای مدل دینامیکی بار است. برای سادگی، پارامترهای α_S و α_T ثابت فرض شده و تنها تخمین پارامتر T_P مدنظر خواهد بود. فیلتر کالمن به سه دسته خطی، توسعه‌یافته (EKF) و بدون دنباله (UKF) تقسیم می‌شود. نظر به غیرخطی بودن مدل دینامیکی بار و همچنین مزایای فیلتر بدون دنباله، در این مقاله از این فیلتر برای تخمین پارامتر T_P استفاده خواهد شد.

معادلات فیلتر UKF

مقدار دهی اولیه این فیلتر با متوسط و کواریانس حالت پیش بینی شده رابطه (9) صورت می‌گیرد.



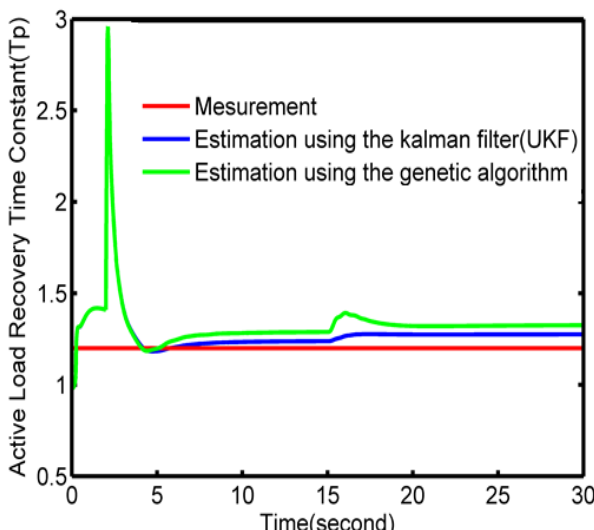
شکل(۵): تغییرات ولتاژ باس شماره ۹ سیستم سه ماشینه

معادله (۱۹) مدل دینامیکی بار را به شکل معادلات حالت بیان می‌کند.

$$\begin{cases} \frac{dP_r}{dt} = \frac{1}{T_p} (P_0 (\frac{V}{V_0})^{\alpha_s} - P_0 (\frac{V}{V_0})^{\alpha_t} - P_r) \\ \frac{dT_p}{dt} = 0 \end{cases} \quad (19)$$

شکل (۶) نتایج را برای تخمین اولیه T_p برابر با 0.98 نشان می‌دهد. منحنی سبز و آبی رنگ نشان دهنده تخمین پارامتر T_p توسط الگوریتم ژنتیک و کالمن فیلتر است.

همانطور که مشاهده می‌شود روش فیلتر کالمن دقیق‌تر از الگوریتم ژنتیک است. ضمن اینکه روش فیلتر کالمن توانایی کار به روشنی را دارد.

شکل(۶): تخمین پارامتر T_p

$$\left\{ \begin{array}{l} \hat{y}_k^- = \sum_{i=0}^{2L} W_i^m Y_{i,k|k-1} \\ P_{y_k y_k} = \sum_{i=0}^{2L} W_i^c (Y_{i,k|k-1} - \hat{y}_k^-) (Y_{i,k|k-1} - \hat{y}_k^-)^T + R \end{array} \right. \quad (16)$$

کواریانس همبستگی متقابل $P_{x_k y_k}$ به فرم معادله (۱۷) محاسبه می‌شود:

$$P_{x_k y_k} = \sum_{i=0}^{2L} W_i^c (X_{i,k|k-1} - \hat{x}_k^-) (Y_{i,k|k-1} - \hat{y}_k^-)^T + R \quad (17)$$

ماتریس بهره کالمن از همبستگی متقابل و کواریانس اندازه‌گیری به فرم معادله (۱۸)، تقریب زده می‌شود:

$$K_k = P_{x_k y_k} P_{y_k y_k}^{-1} \quad (18)$$

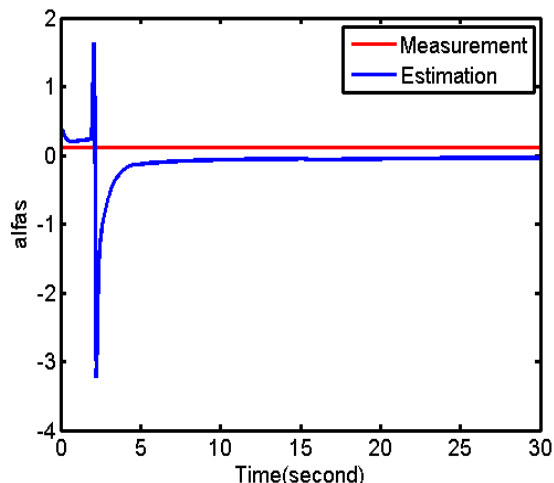
۴-۱- تخمین پارامتر T_p

در این قسمت با تزریق تغییرات ولتاژ و فرکانس به شینه‌ای که بار A به آن متصل است (شینه ۹) مقدار T_p با ثابت در نظر گرفته شده است. $\alpha_s=0.38$ و $\alpha_t=2.26$ تخمین زده می‌شود. شکل(۵) ولتاژ این شینه را در سیستم سه ماشینه و در اثر وقوع رخداد بخش ۳ نشان می‌دهد. در این حالت مقدار T_p برابر $1/2$ فرض شده است. خروجی‌های نرم‌افزار Digsilent را از آنجایی که به مقادیر واقعی دسترسی نداشته‌ایم، به عنوان مقادیر اندازه‌گیری برای تخمین به فیلتر کالمن اعمال کردہ‌ایم. ولتاژ و فرکانس شینه ۹ در هر گام اعمال می‌گردد. UKF به صورت یک فرآیند تصحیح-پیش‌بینی دو مرحله‌ای فرموله‌بندی می‌شود. مرحله پیش‌بینی یک بهنگام سازی زمانی با استفاده از معادلات حالت است که مقادیر حالت و اندازه‌گیری در گام بعد را بر اساس مقادیر گام قبل تخمین می‌زنند. علاوه بر پیش‌بینی مقادیر حالت سیستم، یک ماتریس کواریانس خطای نیز در همان گام محاسبه می‌شود. تصحیح، گین کالمن K_k برای بدست آوردن مقادیر حالت تصحیح و کمینه کردن عدم تطابق بین کمیات اندازه‌گیری شده تخلیق می‌گردد. مقادیر واقعی اندازه‌گیری شده به کار گرفته می‌شود.

با این تخمین پاسخ بار شبیه سازی شده و اندازه گیری شده روی هم منطبق می شوند، که این نشان دهنده شبیه سازی درست و دقیق می باشد.

برای اینکه نشان دهیم فیلتر کالمن دقیق بالایی دارد با افزودن یک معادله به رابطه (۱۹) پارامتر α_5 را نیز به عنوان متغیر حالت در نظر گرفته و با فیلتر کالمن تخمین زده می شود.

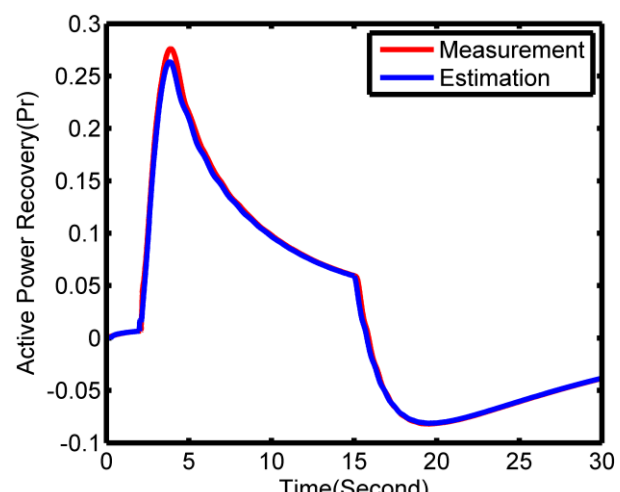
شکل(۷) نتایج را برای تخمین اولیه $\alpha_5 = 0.45$ نشان می دهد.



شکل(۷): تخمین پارامتر α_5

۵- تاثیر نویز بر رفتار فیلتر کالمن

نکته حیاتی در عملکرد صحیح فیلتر کالمن، آگاهی دقیق از مقادیر ماتریس های کوواریانس نویز فرآیند و اندازه گیری است. که معمولاً تعیین این ماتریس ها به صورت دقیق امکان پذیر نیست. شکل(۸) پاسخ بار شبیه سازی شده و اندازه گیری شده را با اعمال نویز rand(1,3014) به ورودی ولتاژ (شکل ۵) نشان می دهد.



شکل(۸): پاسخ بار شبیه سازی شده و اندازه گیری شده تحت تاثیر نویز

- [1] Knyazkin, V., Cañizares, C. and Söder, L., *On the parameterestimation and modeling of aggregate power system loads*. *IEEE Transactions on Power Systems*, 19 (2), pp. 1023-1031, 2004. DOI: 10.1109/TPWRS.2003.821634
- [2] Panigrahi, B.K., Ravikumar-Pandi, V. and Das, S., *Adaptive particle swarm optimization approach for static and dynamic economic load dispatch*. *Energy Conversion and Management*, 49 (6), pp. 1407-1415, 2008. DOI: 10.1016/j.enconman.2007.12.023
- [3] Hiskens, I.A., *Nonlinear dynamic model evaluation from disturbance measurements*, *IEEE Transactions on Power Systems*, 16 (4), pp. 702-710, 2001. DOI: 10.1109/59.962416
- [4] Del Valle, Y., Venayagamoorthy, G.K., Mohagheghi, S., Hernandez,J.C. and Harley, R.G., *Particle swarm optimization: Basic concepts,variants and applications in power systems*. *IEEE Transactions on Evolutionary Computation*, 12 (2), pp. 171-195, 2008. DOI:10.1109/TEVC.2007.896686
- [5] Xavier Ho, Martin Tomitsch, and TomaszBednarz.Finding designinfluence within rogue like games.Meaningful Play 2016 Conference Proceedings,2016
- [6] Kieran Milan, Joel Veness, James Kirk-patrick, Michael Bowling, Anna Koop, and Demis Hass-abis. *The forget-me-not process*. In *Advances in Neural Information Processing Systems*, 2016
- [7] Rodriguez-Garcia, L., Perez-Londono, S. and Mora-Florez, J., *A methodology for composite load modeling in power systemsconsidering distributed*

generation, *Proceedings of IEEE/PESTransmission and Distribution: Latin America Conference andExposition (T&D-LA)*, pp. 1-6, 2012. DOI: 10.1109/tdcla.2012.6319122

- [8] A. M. Najafabadi, A.T. Alouani, "Real Time Estimation of Sensitive Parameters of Composite Power System Load Model" *IEEE PES Transmission & Distribution, Orlando, May2012*
- [9] R. He, J. Ma, and D. J. Hill, "Composite load modeling via measurement approach," *IEEE Trans. Power Syst.*, vol. 21, no. 2, pp.663–672,May 2006
- [10] L. Rodriguez-Garcia, S. Perez-Londono, J. Mora-Florez, "A methodology for composite load modeling in power systems considering distributed generation," *2012 Sixth IEEE/PES Transmission and Distribution: Latin America Conference and Exposition (T&D-LA)*, pp. 1-7, 3-5 Sept. 2012
- [11] McIntyre, S.R., Roberts, L.J.: 'Tasmanian power system load modeling: static and dynamic techniques & comparisons', *EECON TAS, April 2011*
- [12] M. F. Huber, "Chebyshev polynomial Kalman filter," *Digital Signal Processing*, vol. 23, no. 5, pp. 1620–1629, 2013.
- [13] Swaroop Kumar.Nallagalva,Mukesh Kumar Kirar, Dr.Ganga Agnihotri' Transient Stability Analysis of the IEEE 9-Bus ElectricPowerSystem' ISSN : 2277-1581, 01 July 2012
- [14] Uchhrang K. Jethwa, Member, IEEE, Rajeev Kumar Bansal, Ninad Date, and Ranjeet Vaishnav, "Comprehensive Load-Shedding System", *IEEE Transactions On Industry Applications*, Vol.46,No. 2, March/April 2010
- [15] Mohammed, M., Bellar, A., Adnane, A., Boussadia, H., 2016. Performance analysis of attitude determination and estimation algorithms applied to low earth orbit satellites. *Ukacc, International Conference on Control (pp.1-6). IEEE.*